

## รายการอ้างอิง

### ภาษาไทย

วงศ์สิทธิ มารัตน์ การควบคุม พี.ไอ.ดี.พี. ของโต๊ะตัดแผ่นเหล็กด้วยเปลวไฟ.  
วิทยานิพนธ์ปริญญามหาบัณฑิต จุฬาลงกรณ์มหาวิทยาลัย , 2530.

### ภาษาอังกฤษ

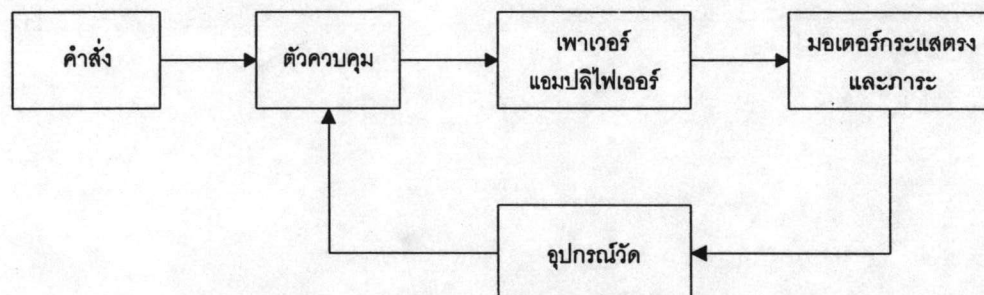
- Bollinger, John G., and Duffie, Neil A., **Computer control of machines and processes.**, Addison-Wesley, 1988.
- Kuo, B.C., **Digital control systems.**, 2nd ed., Saunders College, 1992.
- Nachtigal, Chester L., **Instrumentation and control fundamentals and applications.**, John Wiley & Sons, Inc., 1990.
- Ogata, Katsuhiko, **Modern control engineering.**, 2nd ed., Prentice-Hall International, Inc., 1990.
- Palm, William John, **Control systems engineering.**, John Wiley & Sons, Inc., 1986.
- Reid, J. Gary., **Linear system fundamentals.**, 2nd ed., McGraw-Hill Book Co., 1985.

**ภาคผนวก**

## ภาคผนวก ก

### ระบบการควบคุมมอเตอร์และส่วนประกอบ

ในงานอุตสาหกรรมโดยทั่วไปนิยมใช้ มอเตอร์ไฟฟ้า อุปกรณ์ไฮดรอลิกหรืออุปกรณ์นิวเมติก เป็นอุปกรณ์ในการขับเคลื่อน เนื่องจากความเรียบก้าวหน้าทางด้านเทคโนโลยีในปัจจุบัน ได้มีการพัฒนาไปอย่างมาก ได้มีการนำเอาอุปกรณ์อิเล็กทรอนิกและคอมพิวเตอร์มาใช้ในระบบควบคุมกันอย่างแพร่หลาย มอเตอร์จะแสดงร่องบ่าเป็นตัวขับเคลื่อนแบบหนึ่งที่นิยมใช้ในงานอุตสาหกรรมขนาดเบา โดยใช้เป็นระบบควบคุมที่มีการป้อนกลับ ( Feedback control ) หรือ ระบบควบคุมแบบปิดลูป ( Closed-loop control ) ส่วนประกอบพื้นฐานโดยทั่วไปของระบบควบคุม มอเตอร์จะแสดงดังรูปที่ ก.1



รูปที่ ก.1 แผนภูมิของระบบควบคุมมอเตอร์กระแสและภาระ

ส่วนประกอบต่าง ๆ มีหน้าที่ในการทำงานดังนี้

#### คำสั่ง

เป็นส่วนที่ป้อนคำสั่งที่ใช้ในการควบคุมระบบให้ทำงานตามต้องการ เช่น ตำแหน่งในการเคลื่อนที่ ความเร็วในการเคลื่อนที่ โดยทั่วไปเป็นชุดของคำสั่งเพื่อให้ทำงานต่อเนื่องกัน

## ตัวควบคุม

เป็นอุปกรณ์ควบคุมสัญญาณที่ใช้ควบคุมมอเตอร์กระแสตรงกับกระแส ทำหน้าที่เปรียบเทียบสัญญาณระหว่างคำสั่งที่ป้อนเข้ากับสัญญาณจากอุปกรณ์รับ และปรับสัญญาณที่ส่งไปควบคุมมอเตอร์ให้ทำงานตามคำสั่ง

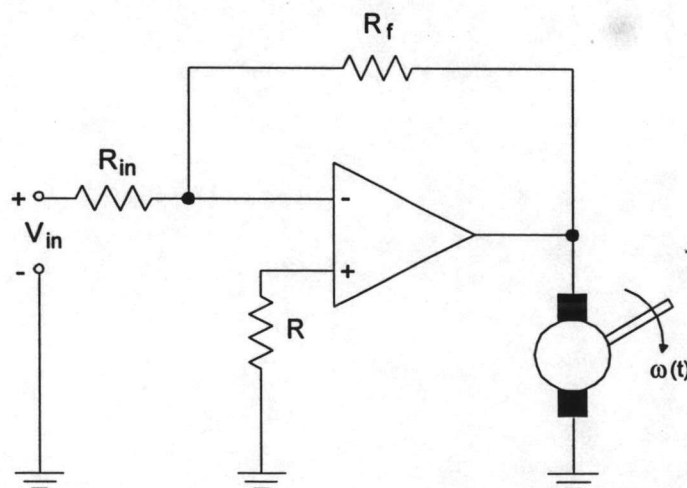
ตัวควบคุมแบ่งเป็น 2 แบบ คือ ตัวควบคุมแบบอนาล็อก (Analog controller) ลักษณะสัญญาณที่ควบคุมจะเป็นแบบต่อเนื่อง (Continuous) และ ตัวควบคุมแบบ ดิจิตอล (Digital controller) ลักษณะสัญญาณที่ควบคุมจะเป็นแบบไม่ต่อเนื่อง (Discrete) การรับส่งข้อมูลที่ใช้ในการควบคุมจำเป็นต้องมีการสูม (Sampling) สำหรับโครงการวิทยานิพนธ์นี้ใช้ไมโครคอมพิวเตอร์ซึ่งเป็นตัวควบคุมแบบดิจิตอล และใช้ภาษา C เป็นชุดคำสั่งในการทำงาน

## เพาเวอร์แอมป์ลิไฟเออร์

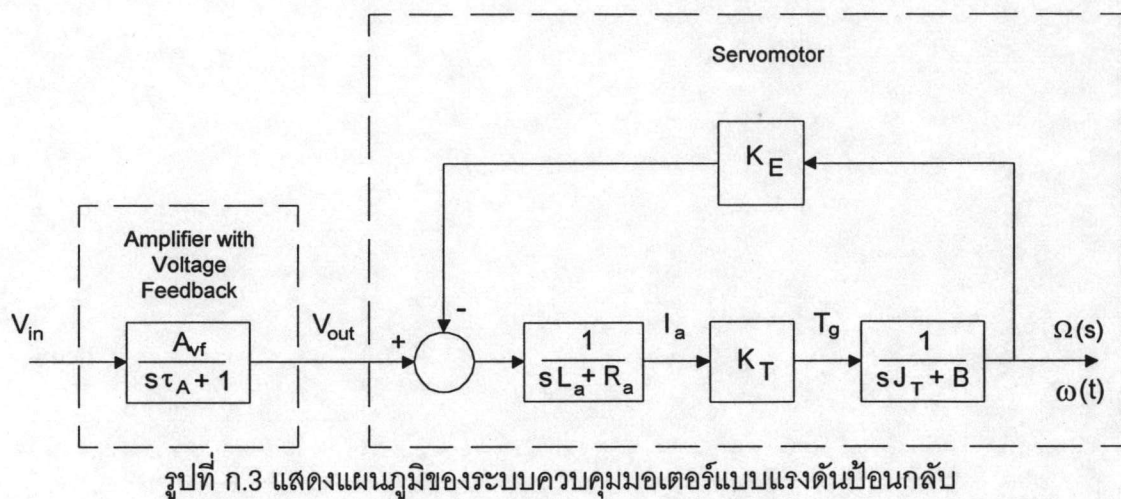
เพาเวอร์แอมป์ลิไฟเออร์ มีหน้าที่ขยายสัญญาณจากตัวควบคุมให้เหมาะสม ก่อนที่จะป้อนให้กับมอเตอร์ เพาเวอร์แอมป์ลิไฟเออร์ที่ใช้เป็นแบบ ลินีเยอร์เพาเวอร์แอมป์ลิไฟเออร์ ซึ่งหมายความว่ากับมอเตอร์กระแสตรงที่ใช้พลังงานต่ำ และมีราคาถูก แต่มีการสูญเสียพลังงาน (Power losses) สูง เพาเวอร์แอมป์ลิไฟเออร์ที่ใช้ในโครงการวิทยานิพนธ์นี้ 2 แบบ คือ

### 1. แบบขยายแรงดัน

แอมป์ลิไฟเออร์แบบขยายแรงดันจะมีส่วนให้กำลังที่ทำงานโดยพลีแอมป์ลิไฟเออร์ (ปกติจะแทนได้ด้วยอปปอมป์) คุณสมบัติของอุปกรณ์คือ ค่ามีความต้านทานด้านเอาท์พุทต่ำ (Low output impedance) ซึ่งเป็นการขยายแรงดันไฟฟ้า โดยทั่วไปจะมองส่วนประกอบเหล่านี้เป็นกระบวนการแบบควบคุมแรงดันไฟฟ้า (voltage-controlled velocity)



รูปที่ ก.2 แสดงวงจรแบบแรงดันป้อนกลับขับเซอร์โวมอเตอร์



จากรูปที่ ก.2 ว่าจรแทนแอมป์ลิไฟเออร์แบบขยายแรงดันที่ประกอบด้วย օอปแอมป์ เป็นการควบคุมความเร็วของมอเตอร์โดยการควบคุมแรงดัน รูปที่ ก.3 เป็นแผนภูมิที่ใช้แทนวงจร ในรูปที่ ก.2 ด้านซ้ายจะแทนวงจรขยายแรงดัน และด้านขวาแทนเซอร์โวมอเตอร์ ซึ่งมี แรงดันย้อนกลับ (back EMF) ที่ขึ้นอยู่กับความเร็วของมอเตอร์

แอมป์ลิไฟเออร์แบบขยายแรงดันจะมีย่านการทำงานที่จำกัด เราสามารถแทนผลตอบสนองความถี่ (frequency response) ของแอมป์ลิไฟเออร์แบบนี้ได้ด้วยระบบแบบมีค่าโพลเดียวเดียว (single-pole model) ในการใช้งานทางด้านหุ่นยนต์ทั่วไป ดังนั้นจึงกำหนดฟังก์ชันถ่ายโอนได้ตามสมการ

$$\frac{V_{out}(s)}{V_{in}(s)} = \frac{A_{vf}}{1 + s\tau_A} \quad (\text{ก.1})$$

$1/\tau_A$  คือ ความถี่ซ่างการทำงานของแอมป์ลิไฟเออร์

$A_{vf}$  คือ ขนาดของค่าเกนซึ่งได้จากการสัมพันธ์ดังนี้

$$|A_{vf}| = \frac{R_f}{R_m} \quad (\text{ก.2})$$

รูปที่ ก.3 แสดงแผนภูมิของเซอร์โวมอเตอร์กระแตกต่าง ที่ขับด้วยแอมป์ลิไฟเออร์ ฟังก์ชันถ่ายโอนโดยรวมจะหาได้จากการลดรูปและการคูณ ความสัมพันธ์ระหว่างความเร็วของแกนเพลาและมอเตอร์กับแรงดันป้อนเข้า คือ



$$\frac{\Omega(s)}{V_n(s)} = \frac{K_T/L_a J_T}{s^2 + [(R_a J_T + L_a B)/L_a J_T]s + (K_T K_E + R_a B)/L_a J_T} \cdot \frac{A_v}{(1+s\tau_A)} \quad (ก.3)$$

จะเห็นว่า แรงดันป้อนกลับไม่มีผลกับตำแหน่งของค่าโพลของมอเตอร์ วิทยานินพนธ์ใช้เพาเวอร์แอมป์ลิไฟเออร์ในแกน x และ y แบบขยายแรงดันสามารถจ่ายแรงดันไฟฟ้าจาก -36 ถึง 36 โวลท์ และจ่ายกระแสได้ 5 แอมป์ ความสัมพันธ์ระหว่างแรงดันอินพุตและแรงดันเอาท์พุตเป็นดังนี้

$$V_{out1} = 3.9827V_{in1} + 0.03115 \quad (ก.4)$$

$$V_{out2} = 3.9762V_{in2} + 0.04298 \quad (ก.5)$$

โดยที่

$$V_{out1} = \text{แรงดันเอาท์พุตของช่องที่ } 1$$

$$V_{in1} = \text{แรงดันอินพุตของช่องที่ } 1$$

$$V_{out2} = \text{แรงดันเอาท์พุตของช่องที่ } 2$$

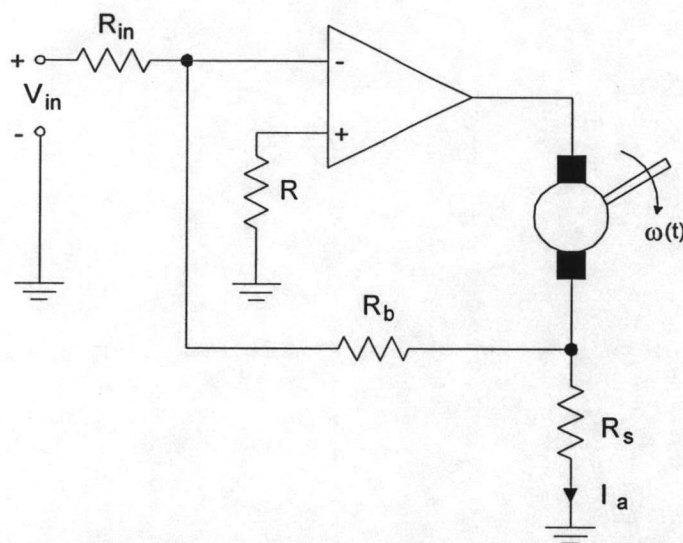
$$V_{in2} = \text{แรงดันอินพุตของช่องที่ } 2$$

## 2. แบบขยายกระแส

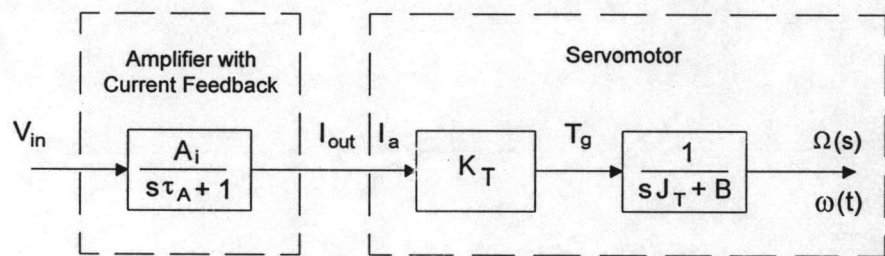
อีกวิธีหนึ่งในการขับเซอร์โวมอเตอร์ คือใช้ แอมป์ลิไฟเออร์แบบขยายกระแส (high-impedance) ดังแสดงในรูปที่ ก.4 เป็นการทำงานแบบกระแสที่ย้อนกลับมาทำให้กระแสเด้านอกมีค่าคงที่สำหรับค่าแรงดันป้อนเข้าได้ พิจารณาสมการทางพลศาสตร์ของเซอร์โวมอเตอร์กระแสตรงแสดงให้เห็นว่าตัวที่เกี่ยวข้องกับความเป็นไปทางไฟฟ้า เช่น ค่าความต้านทาน และความเนื้อiyawนำของขดลวดอเมเจอร์ ร่วมกับค่าคงที่แรงดันย้อนกลับ (back EMF) ไม่มีผลต่อกระแสที่ใช้ขับมอเตอร์ จากสมการของมอเตอร์ในรูป ก.4 ไม่คิดค่าแรงบิดคงที่ จะได้ความสัมพันธ์ระหว่างความเร็วของมอเตอร์กับกระแสดังนี้

$$K_T I_a(s) = (sJ_T + B)\Omega(s) \quad (ก.6)$$

จุดรูปแบบของสมการ ก.6 เป็นความสัมพันธ์ของกระแสในขดลวดอเมเจอร์กับความเร็วของเพลาตามอเตอร์ได้ดังสมการที่ ก.7 จะเห็นว่าอุปกรณ์สร้างความเร็วแบบควบคุมกระแส (current-controlled velocity)



รูปที่ ก.4 วงจรแอมป์ไฟเซอร์ขับเซอร์โวมอเตอร์แบบกระแสป้อนกลับ



รูปที่ ก.5 แผนภูมิของระบบควบคุมมอเตอร์แบบกระแสป้อนกลับ

$$\frac{\Omega(s)}{I_a(s)} = \frac{K_T}{sJ_T + B} \quad (\text{ก.7})$$

ผลจากแรงบิดจะมีค่าขึ้นอยู่กับ กระแสที่ให้ในขดลวดตามเจอร์ เพราะฉะนั้น แอมป์ไฟเซอร์แบบขยายกระแสจึงเป็นอุปกรณ์ที่ควบคุมแรงบิดด้วย (torque control) ในความเป็นจริงแอมป์ไฟเซอร์แบบขยายกระแสมีช่วงการทำงานที่จำกัดสามารถดัดลองด้วยสมการดังนี้

$$\frac{I_{out}(s)}{V_{in}(s)} = \frac{A_i}{1 + s\tau_A} \quad (\text{ก.8})$$

$1/\tau_A$  คือ ความถี่ช่วงการทำงานของแอมป์ไฟเซอร์

$A_i$  คือ ค่าเกนของแอมป์ลิไฟเออร์น่วยเป็นแอมป์ต่อโวลท์ เป็นพังก์ชันของ ความต้านทานด้านเข้าความต้านทานบ้อนกลับและความต้านทานตรวจวัด (sense resistor)

$$|A_i| = \frac{R_b}{R_{in} R_s} \quad (ก.9)$$

พิจารณาให้  $R_s$  มีค่าน้อยกว่า  $R_b$  พังก์ชันถ่ายโอนโดยรวมของมอเตอร์ซึ่งขึ้นโดย แอมป์ลิไฟเออร์แบบขยายกระแสได้จาก คุณสมการ ก.7 กับ ก.8 จะได้

$$\frac{\Omega(s)}{V_{in}(s)} = \frac{K_T A_i}{(sJ_T + B)(1 + s\tau_A)} \quad (ก.10)$$

รูปที่ ก.5 เป็นแผนภูมิที่ใช้แสดงระบบ เมื่อเบริญเทียบสมการ ก.3 กับสมการ ก.10 จะเห็นว่าค่าโพลของมอเตอร์จะเปลี่ยนไปจากการใช้กราฟบ้อนกลับ โดยความเป็นจริงแล้ว เรา จะมองมอเตอร์เป็นแบบค่าโพลเดียว มากกว่าจะเป็นแบบค่าโพล 2 ค่า ค่าทางกอลศาสตร์ของ ระบบที่มีผลกับความเป็นไปของระบบเชอร์โว เชน ค่าไมเมนต์ความเร็วโดยรวม ( $J_T$ ) และ ค่าวิส คงส์แเดมปิ้ง ( $B$ )

เพาเวอร์แอมป์ลิไฟเออร์ที่ใช้ในแกน z เป็นแบบขยายกระแส ( Current Amplifier ) ทำจากบริษัท Electro Craft รุ่น LA-5600 เป็นชนิด ลินีร์เพาเวอร์แอมป์ลิไฟเออร์ หมายความว่า สำหรับ ความต้องการกระแสคงที่ สามารถให้ได้ 22 แอมป์ เมื่อใช้เป็นอุปกรณ์ขยายกระแส ในกรณีที่ใช้งานแบบต่อเนื่องสามารถใช้ได้ในช่วง 0 - 9 แอมป์ เพื่อป้องกันความร้อนที่เกิดขึ้นจากการใช้งาน สำหรับอัตราขยายของอุปกรณ์จะมีค่า ประมาณ 5 แอมป์/โวลท์ ส่วนค่าคงที่เวลา ( Time Constant ) ของอุปกรณ์ มีค่าสูงถึง 2 กิกะไฮซ์ ( kHz ) หรือ 0.0005 วินาที ซึ่งไม่มีผลกับระบบ

#### มอเตอร์กระแสตรงและภาระ

เป็นอุปกรณ์ที่ใช้ในการขับเคลื่อน วิทยานิพนธ์นี้ใช้ มอเตอร์กระแสตรงแบบแม่เหล็ก ถาวร ( DC servomotor ) มีคุณสมบัติการทำงานสูง มีอัตราเมืองเร็วในดักแทนซ์และแรงเร่งเฉื่อยต่ำ โดยในตัวมอเตอร์จะมีทาคอมิเตอร์ ( Tachometer ) ติดอยู่ มอเตอร์ที่ใช้ทั้ง 3 แกน ทำจาก บริษัท Electro Craft ในแนวแกน X และ Y มอเตอร์ที่ใช้คือรุ่น E586-MGHP 586-022-113 จะมีชุดเพื่องหด

อัตราส่วน 1: 100 สำหรับแกน Z ใช้รุ่น E588 0588-33-500 รายละเอียดและขนาดของมอเตอร์แสดงไว้ในภาคผนวก ค

### อุปกรณ์วัดและป้อนกลับ

เป็นอุปกรณ์วัดสัญญาณออกของระบบในรูปแบบต่างๆ เช่น ระยะทาง ความเร็ว และป้อนกลับไปยังตัวควบคุมเพื่อปรับเปลี่ยนเพื่อให้กับคำสั่งที่ต้องการ แล้วส่งผลต่างไปยังตัวควบคุมต่อไป อุปกรณ์วัดมีความสำคัญในระบบควบคุมแบบปิดลูป อุปกรณ์วัดที่ใช้มี 2 แบบ คือ

#### 1. อุปกรณ์ที่ให้สัญญาณแบบอนาคต

1.1 ทาโคมิเตอร์ เป็นอุปกรณ์ที่ใช้วัดความเร็วของหมุน สัญญาณที่ได้เป็นแรงดันไฟฟ้ากระแสตรงแบร์เซ็นตามความเร็ว

$$V = 14.2 V_{\text{vel}}$$

$V$  = ค่าแรงดันที่ได้จากทาโคมิเตอร์ (Volt)

$V_{\text{vel}}$  = ความเร็วของมอเตอร์ (krpm)

1.2 อุปกรณ์วัดแบบแสงเลเซอร์ เป็นอุปกรณ์ที่ให้สัญญาณแบบอนาคต แบบที่ใช้เป็นอุปกรณ์วัดระยะที่มีความละเอียดสูงถึง 0.5 ไมโครเมตร มีจุดอ้างอิงอยู่ที่ 40 มม. และช่วงการวัด  $\pm 3$  มม. รายละเอียดของอุปกรณ์นี้แสดงอยู่ในภาคผนวก ข

#### 2. อุปกรณ์ที่ให้สัญญาณแบบดิจิตอล

2.1 օอปติคอลลินัยร์เอนโคดเดอร์ ( Optical linear encoder ) เป็นอุปกรณ์วัดตำแหน่งซึ่งให้สัญญาณแบบดิจิตอล มีความละเอียดสูงถึง 0.01 มิลลิเมตร เอนโคดเดอร์ของแกน x และ y มีช่วงการวัด 1050 มม. ส่วนแกน z มีช่วงการวัด 650 มม. การบอกตำแหน่งของอุปกรณ์วัดแบบเอนโคดเดอร์จะใช้การตรวจจับแสงเคลื่อนที่ผ่านช่องที่มีความทึบแสงและโปร่งแสงสลับกัน แล้วให้สัญญาณแบบ TTL รูปเหลี่ยม 2 ช่องซึ่งมีเฟสต่างกัน 90 องศา ซึ่งนำมาเป็นรหัสบอกตำแหน่งได้โดยผ่านอุปกรณ์ถอดรหัส เรียกว่า ดีโคดเดอร์ ( Decoder ) ซึ่งเป็นอุปกรณ์นับสัญญาณจากเอนโคดเดอร์ แล้วส่งตำแหน่งที่ได้จากการนับเป็นสัญญาณแบบ ดิจิตอลขนาด 17 บิต เพื่อส่งผ่านผ่านวงจร TTL ให้กับคอมพิวเตอร์

### ตัวชุดเคลื่อนที่

แนวแกน x และ y จะเคลื่อนที่ตามแนวราบ ตั้งจากกันให้ติดลับลูกปืนเป็นล้อในการเคลื่อนที่ โครงสร้างในการเคลื่อนที่ทำจากอลูมิเนียม ใช้มอเตอร์กระแสตรงเป็นตัวขับเคลื่อนส่ง

กำลังผ่านชุดเพื่อง遏และระบบล้อสายพานโดยใช้สลิง วัดระยะทางโดยใช้เอนโคดเดอร์ติดอยู่ที่แกน ซึ่งเคลื่อนที่ได้ 950 มิลลิเมตร

แนวแกน z เคลื่อนที่ขึ้นลงตั้งจากกับแนวระหว่างแกน x,y ใช้บลอกกรูเป็นตัวส่งกำลังจากมอเตอร์กระแทดรอง ไปยังแกนซึ่งติดอยู่กับกรณ์วัดแบบเลเซอร์ไว้ที่ปลายด้านล่าง มีตัววัดตำแหน่งแบบเอนโคดเดอร์ขนาด 650 มิลลิเมตร ติดอยู่กับชุดขับเคลื่อนเพื่อวัดระยะที่เคลื่อนที่ไป ชุดเคลื่อนที่ชุดนี้สามารถเคลื่อนที่ได้ระยะสูงสุดประมาณ 400 มิลลิเมตร

#### แผ่นวงจรติดต่อระหว่าง คอมพิวเตอร์ กับอุปกรณ์ภายนอก (Interface cards)

ในการควบคุมด้วยคอมพิวเตอร์จำเป็นจะต้องรับส่งสัญญาณระหว่างเครื่องคอมพิวเตอร์ กับอุปกรณ์ภายนอก อุปกรณ์รับส่งมีอยู่หนาแน่นิดหน่ายแบบ ตามแต่การใช้งานและความเหมาะสม แผ่นวงจรเป็นอุปกรณ์ชนิดหนึ่งที่ใช้สำหรับติดต่อรับส่งข้อมูลระหว่างคอมพิวเตอร์กับอุปกรณ์ภายนอก แผ่นวงจรที่ใช้ได้แก่

##### 1. แผ่นวงจรของบริษัท Data translation รุ่น DT 2801-A ซึ่งมีคุณสมบัติดังนี้

1.1 ส่งข้อมูลสัญญาณอนาลอก (D/A) 2 ช่องสัญญาณ อยู่ในช่วง  $\pm 10$  V. ความละเอียด 12 บิต

1.2 รับข้อมูลสัญญาณอนาลอก (A/D) 16 ช่องสัญญาณ อยู่ในช่วง  $\pm 10$  V. ความละเอียด 12 บิต

1.3 ช่องรับส่งสัญญาณแบบดิจิตอลขนาด 16 บิต

##### 2. แผ่นวงจรของบริษัท PC Lab รุ่น PCL- 812

1.1 ส่งข้อมูลสัญญาณอนาลอก (D/A) 2 ช่องสัญญาณ ในช่วง 0-5 V. ความละเอียด 12 บิต

1.2 รับข้อมูลสัญญาณอนาลอก (A/D) 16 ช่องสัญญาณ ในช่วง  $\pm 10$  V. ความละเอียด 12 บิต

1.3 ช่องรับส่งสัญญาณแบบดิจิตอลขนาด 16 บิต TTL

3. แผ่นวงจร TTL มีช่วงรับส่งสัญญาณดิจิตอลขนาด 8 บิต จำนวน 8 ช่อง สัญญาณ ใช้ในการรับสัญญาณใบหนารีซองตำแหน่งจากเอนโคดเดอร์

## ภาคผนวก ข

### อุปกรณ์วัดแบบเลเซอร์

อุปกรณ์แบบเลเซอร์ที่ใช้ เป็นของบริษัท KEYENCE รุ่น LC - 2011 เป็นอุปกรณ์เลเซอร์ชนิด เซมิคอนดัคเตอร์ (semiconductor) แบบพัลส์กำลังต่ำ ตัวอุปกรณ์จะสร้างลำแสงเลเซอร์ที่มีองค์ประกอบความยาวคลื่น 780 นาโนเมตร กำลังของลำแสงมีค่าอยู่กว่า 3 มิลลิวัตต์ ลำแสงไม่มีอันตรายใด ๆ ต่อผิวหนัง แต่เป็นอันตรายอย่างยิ่งต่อดวงตา ข้อควรระวังในการใช้งานมีดังนี้

1. อาย่ามของลำแสงเลเซอร์โดยตรง หรือลำแสงที่สะท้อนออกจากวัสดุที่สามารถสะท้อนแสงได้มาก ๆ

2. ใช้อุปกรณ์ที่ออกแบบมาให้ใช้เฉพาะกับอุปกรณ์ชนิดนี้เท่านั้น

3. อาย่าปรับปรุงหรือซ่อมแซมอุปกรณ์เอง

อุปกรณ์จะเริ่มสร้างลำแสงเมื่อเวลาผ่านไป 3 วินาที หลังจากอุปกรณ์เริ่มทำงาน ระยะไฟกัสของอุปกรณ์อยู่ที่ 40 มิลลิเมตร จากเลนส์ที่ปล่อยแสง ช่วงในการวัดมีค่า  $\pm 3$  มิลลิเมตร จากระยะไฟกัส

#### คุณสมบัติในการทำงานของอุปกรณ์วัดเลเซอร์

1. แสดงระยะห่างหรือปริมาณของแสงด้วยภาพแบบตัวเลข ซึ่งเป็นระยะห่างของชิ้นงานจากตำแหน่งไฟกัส ระยะจะมีค่าเป็น 0 เมื่อผิวชิ้นงานอยู่ที่ตำแหน่งไฟกัสพอดี มีค่าเป็นบวก เมื่อชิ้นงานอยู่ห่างจากหัวดัดเดย์ตำแหน่งไฟกัสออกไป และมีค่าเป็นลบเมื่อชิ้นงานเข้าใกล้หัวดัดเดย์ ระยะห่างที่แสดงจะมีค่าเท่ากับแรงต้นไฟฟ้าที่เครื่องจ่ายออกมานา ( $1\text{mV}=1\mu\text{m}$ )

2. สามารถปรับค่าอัตราขยายได้โดยอัตโนมัติ เมื่อปริมาณแสงที่วัดได้มีมากหรือน้อยเกินไป

3. สามารถเลือกอัตราความเร็วในการวัดค่าได้ 3 ระดับ คือ 0.001, 0.01 และ 0.1 วินาที ในกรณีที่ต้องการความแม่นยำสูงควรเลือกที่ 0.1 วินาที

4. สามารถปรับค่า ไฮสเตอริซิส ( Hysteresis ) ได้ 2 ระดับ ( 50 และ 10 ไมโครเมตร ) ถ้าต้องการวัดค่าที่มีขนาดเล็กควรปรับไว้ที่ตำแหน่ง NARROW ( 10 ไมโครเมตร )

5. แสดงสัญญาณ ใกล้ ( NEAR ) เมื่อระยะห่างระหว่างชิ้นงานกับหัววัดมีขนาดน้อยกว่าระยะไฟกัส และ ไกล ( FAR ) เมื่อเมื่อระยะห่างระหว่างชิ้นงานกับหัววัดมีขนาดมากกว่าระยะไฟกัส

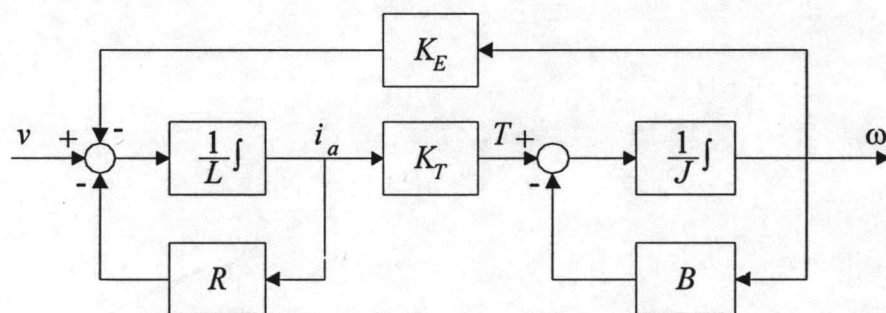
ตารางที่ ๑.๑ ข้อมูลจำเพาะของอุปกรณ์เลเซอร์

รุ่น Model	หัววัด	LC-2011
	อุปกรณ์ควบคุม	LC-2001
Light source		Semiconductor laser (780 nm, 3mW max. pulse duration: 50 micro second )
Reference distance		40 mm
Measurement range		± 3 mm
Spot diameter		0.05 mm max.
Analog output	Output voltage	± 3 V ( 1mV/1μm )
	Output impedance	Approx. 33 Ω
	Resolution	0.5 μm
	Linearity	± 0.3% of measured range
	Responsivity	DC to 600 Hz ( at 1 ms ) -3dB/DC to 60 Hz ( at 10 ms ) -3dB/DC to 6 Hz ( at 100 ms ) -3dB
Control output	Temperature fluctuation	Sensor: 1.0 μm/ °C Controller: 0.5 μm/ °C
	Solid-state	Open-collector 100 mA (40 V) max.
Response delay time	Contact	SPST-NO relay contact x 2 250VAC 2A(resistive load)
	Solid-state	1 ms/10ms/100ms
	Contact	21ms/30ms/120ms

## ภาคผนวก ค

### มอเตอร์กระแสตรง

มอเตอร์กระแสตรงเป็นอุปกรณ์ที่นิยมใช้ในระบบควบคุมหัวไป ตั้งแต่ระบบควบคุมแบบธรรมดายังไม่ต้องการความแม่นยำไปจนถึงระบบที่ต้องการความแม่นย้ำสูง มอเตอร์กระแสตรงมีหลายแบบ หลายขนาด ขึ้นอยู่กับความเหมาะสมในการใช้งาน อุปกรณ์อื่นที่ติดตั้งมากับมอเตอร์ เป็นอุปกรณ์ช่วยในการควบคุม เช่น อุปกรณ์วัดความเร็ว อุปกรณ์วัดตำแหน่ง แบบจำลองของมอเตอร์กระแสตรงโดยหัวไปเขียนได้ดังรูป ค.1 ซึ่งแทน)mอเตอร์กระแสตรงแบบแม่เหล็กถาวร



รูปที่ ค.1 แผนภูมิของมอเตอร์กระแสตรง

ในโครงการวิทยานิพนธ์นี้ใช้มอเตอร์กระแสตรง 3 ตัวในการขับเคลื่อน จากบริษัท Electro Craft โดยแต่ละตัวจะขับเคลื่อนในแต่ละแกน แกน x และ y ใช้มอเตอร์กระแสตรงรุ่น E586-022-113 และ แกน z ใช้รุ่น E588 0588-33-500 ซึ่งมีข้อมูลจำเพาะดังนี้

ตารางที่ C.1 ข้อมูลจำเพาะของมอเตอร์ขับเคลื่อนแนวแกน x, y

Model E586-022-113			
Rated Voltage	$V_r$	V	36
NO LOAD SPEED at $V_r$	$N_o$	rpm	6200
MAX.RATED I at STALL	$I_r$	A	4.6
STALL TORQUE at $I_r$	$T_o$	oz-in	29
MAX.PULSE CURRENT	$I_{pk}$	A	24
TORQUE CONSTANT	$K_t$	oz-in/A	7.8
VOLTAGE CONSTANT	$K_e$	volts/krpm	5.8
TERMINAL RESISTANCE	$R_t$	$\Omega$ at 25°C	1.1
Armature Mom.Inertia	$J_m$	oz-in-s <sup>2</sup>	$5.5 \times 10^{-2}$
Rotational Loss Constant	$K_d$	oz-in/krpm	0.1
Static Friction Torque	$T_f$	oz-in	3
Thermal Resistance Arm./Amb.	$R_{th}$	°C/W	5
ARMATURE INDUCTANCE	$L_a$	mH	2.3
ELECTRICAL Time Constant	$\tau_e$	ms	2.1
MECHANICAL Time Constant	$\tau_m$	ms	14
TACH. Voltage Gradient	$K_g$	V/krpm	14.2
TACH. Terminal Resistance	$R_g$	$\Omega$ at 25°C	720
TACH. Armature Inductance	$L_g$	mH	138
TACH. Load Resistance (optimum) $R_l$		$\Omega$	5000
Ripple Amplitude		%pk-pk	5
LINEARITY		%	0.2
Temperature Coefficient		%/°C	-0.05

ตารางที่ C.2 ข้อมูลจำเพาะของมอเตอร์ขั้บเคลื่อนแนวแกน Z

MOTOR PARAMETERS (@ 155 °C Armature Temp.)		MODEL 0588-33-500
Continuous Stall Torque (oz-in)	50	
Peak Torque (before demagnetization) (oz-in)	350	
Armature Moment of Inertia (oz-in-s <sup>2</sup> )	0.0078	
Damping Constant (oz-in/kgpm)	0.30	
Thermal Resistance (°C/watt)	4.2	
Maximum Terminal Voltage (V)	60	
Maximum Operating Speed (rpm)	6000	
Weight (lbs)	3 lb. 12 oz.	
WINDING DATA		3
K <sub>T</sub> Torque Constant ± 10% (oz-in/amp)	11.8	
K <sub>E</sub> Voltage Constant ± 10% (V/kgpm)	8.7	
Winding Resistance ± 15% @ 25 °C (Ω)	1.0	
Electrical Time Constant (msec)	2.3	
Mechanical Time Constant (msec)	11.3	
Armature Inductance (mH)	3.3	
Maximum Pulse Current (A)	31	
TACHOMETER RATINGS		
Voltage Constant ± 10% (V/kgpm)	14.2	
Resistance ± 15% @ 25 °C (Ω)	720	
Ripple (peak to peak rated at 500 rpm) (%)	5	

## ภาคผนวก ง

### ค่าคงที่ของอุปกรณ์ต่าง ๆ

ค่าคงที่ต่าง ๆ ของชุดเคลื่อนที่ในหน่วยเมตริก

แกน x, y

โมเมนต์ความเรื้อยของมอเตอร์

$$J_{motor} = 3.885177 \times 10^{-4} \text{ kg.m}^2$$

สมประสงค์สิทธิ์วิสกอสแเดมปิ้ง

$$B = 6.745584 \times 10^{-6} \text{ N.m/(rad/s)}$$

ความต้านทานขดลวด

$$R = 1.1 \Omega$$

ความเน้นย้ำนำขดลวด

$$L = 2.3 \text{ mH}$$

ค่าคงที่แรงบิด

$$K_T = 0.0550983 \text{ N.m/A}$$

ค่าคงที่แรงดัน

$$K_E = 0.05538592 \text{ V/(rad/s)}$$

รัศมีล้อขับ

$$r = 0.025 \text{ m}$$

อัตราทดเพื่อง

$$n = 100$$

ค่าโมเมนต์ความเรื้อยเนื่องจากภาระ

$$J_m = mr^2/n^2$$

$$\begin{aligned} J_{mx} &= (11 + 9.249)(0.025)^2/100^2 \text{ kg.m}^2 \\ &= 4.01173325 \times 10^{-5} \text{ kg.m}^2 \end{aligned}$$

$$\begin{aligned} J_{my} &= (11)(0.025)^2 / 100^2 \text{ kg.m}^2 \\ &= 3.953927 \times 10^{-5} \text{ kg.m}^2 \end{aligned}$$

แกน z

ขนาดเส้นผ่านศูนย์กลางของสกรู

$$r_{screw} = 0.016 \text{ m}$$

มวลของสกรู

$$\begin{aligned} m_{screw} &= (mp\ell)(l_{screw}) \\ &= (1.25)(0.56) (\text{kg./m})(\text{m}) \\ &= 0.7 \text{ kg.} \end{aligned}$$

ระยะเฉลี่ยต่อการหมุน 1 รอบ

$$lead = 0.005 \text{ m}$$

มวลของน็อก

$$m_{nut} = 0.25 \text{ kg.}$$

โมเมนต์ความเรื้อยเนื่องจากสกรู

$$\begin{aligned} J_{screw} &= (m_{screw})(r_{screw})^2 / 2 \\ &= (0.7)(0.008)^2 / 2 \text{ kg.m}^2 \\ &= 2.24 \times 10^{-5} \text{ kg.m}^2 \end{aligned}$$

โมเมนต์ความเรื้อยเนื่องจากน็อกและภาระแกน z

$$\begin{aligned} J_{nut} &= (m_{nut} + m_l)lead^2 / 4\pi_2\eta \\ &= (0.25 + 1)(0.005)^2 / (4\pi_2 0.9) \text{ kg.m}^2 \\ &= 8.795242 \times 10^{-7} \text{ kg.m}^2 \end{aligned}$$

โมเมนต์ความเรื้อยของเตอร์

$$J_{motor} = 5.5098875 \times 10^{-5} \text{ kg.m}^2$$

โมเมนต์ความเรื้อยรวม

$$\begin{aligned} J_z &= J_{motor} + J_{nut} + J_{screw} \\ &= 5.5098875 \times 10^{-5} + 8.795242 \times 10^{-7} + 2.24 \times 10^{-5} \text{ kg.m}^2 \\ &= 7.83783992 \times 10^{-5} \text{ kg.m}^2 \end{aligned}$$

ค่าคงที่แรงบิดมอเตอร์

$$K_T = 0.0833547 \text{ N.m/A}$$

สมประสงค์สิทธิ์วิศวกรรมปั้ง

$$B = 2.02367499 \times 10^{-5} \text{ N.m/(rad/s)}$$

ค่าคงที่ในการแปลงค่า

$$1 \text{ oz.} = 0.0283495 \text{ kg.}, 1 \text{ in.} = 0.0254 \text{ m.}$$

ภาษาทางคอมพิวเตอร์ซึ่งแสดงไว้ในแฟ้มข้อมูลชื่อ SYSVAR.C

```

double PI = 3.141592654;
double Jmx = 3.885177e-4,           /* kg.m^2 = 5.5e-2 oz-in-sec^2 */
      Bx = 6.745584e-6,           /* N.m/(rad/s) = 0.1 oz-in/krpm */
      Rx = 1.1,                   /* ohm */
      Lx = 2.3e-3,                /* H */
      Ktachx = 0.13560001,        /* V/(rad/s) = 14.2 V/krpm */
      KTx = 0.0550989,            /* N.m/A = 7.8 oz-in/A motor const. */
      KEx = 5.538592e-2,          /* V/(rad/s) = 5.8 V/krpm back emf */
      Jx = 4.01173325e-5,         /* kg.m^2 mx = 11 + 9.249 kg */
      Jy = 3.953927e-5,           /* kg.m^2 my = 11 kg, use Jm=5.5e-3 */
      r = 0.025,                  /* radius of pulley, m. */
      ngear = 100,                 /* gear ratio */
      KAx = 4,                     /* amplifier gain ,V/V */

/* z axis */
      Jscrew = 2.24e-5,           /* kg.m^2 ,m^2r^2/2=(0.7)(0.008)^2/2 */
      Jnut = 8.7952416e-7,          /* kg.m^2 ,m^2l^2/(4*PI^2)
                                    =(1+.25)(.005)^2/(4*PI^2)/0.9 */
      lead = 0.005,                /* lead ,m */
      Jmz = 5.5098875e-5,          /* kg.m^2 = .0078 oz-in-sec^2 */

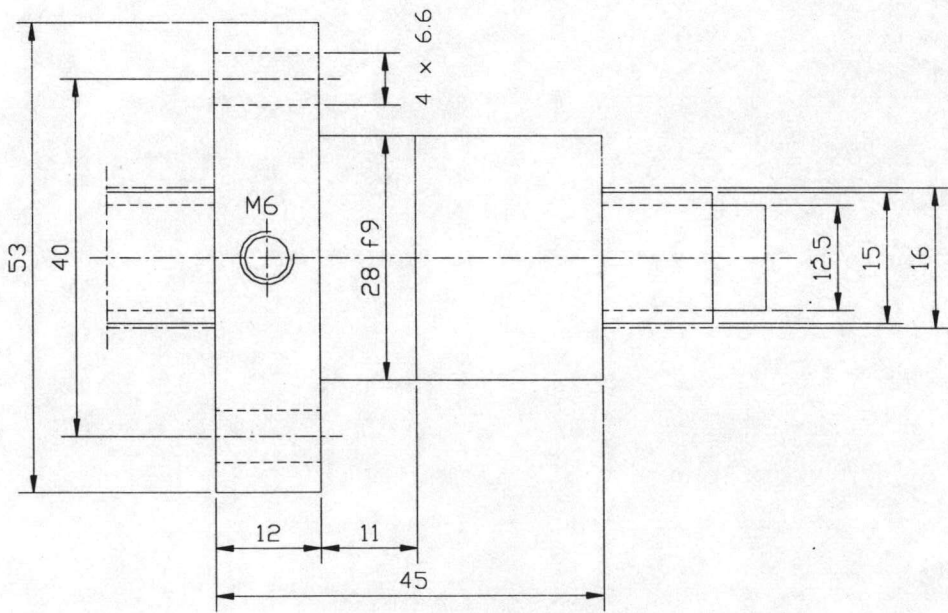
```

Bz = 2.02367499e-5, /\* N.m/(rad/s) = 0.3 oz-in/krpm \*/  
Rz = 1, /\* ohm \*/  
Lz = 3.3e-3, /\* H \*/  
KTz = 0.0833547, /\* N.m/A = 11.8 oz-in/A \*/  
KEz = 8.307888e-2, /\* V/(rad/s) = 8.7 V/krpm back emf \*/  
Ktachz = 0.13560001, /\* V/(rad/s) = 14.2 V/krpm \*/  
Jz = 7.83783992e-5, /\* kg.m^2 = Jmz + Jscrew + Jnut \*/  
KAz = 5 /\* Amplifier gain, A/V \*/ ;□

## ภาคผนวก จ

### บอลสกู

บอลสกู เป็น อุปกรณ์ที่เปลี่ยนการเคลื่อนที่จากการหมุนเป็นการเคลื่อนที่แบบเชิงเส้น ลักษณะของบอลสกูจะมี 2 ส่วน ส่วนแรกคือ ตัวสกู จะเป็นแกนโลหะยาวรูปทรงกระบอก มี เกลียวโดยรอบ ลักษณะของเกลียวจะเป็นร่องโค้งแบบครึ่งวงกลมเพื่อให้ลูกบอลเหล็กลวิ่งไปมาตาม ร่องได้ ส่วนที่สองคือ นัท ภายนอกเป็นโลหะ ภายในบรรจุลูกเหล็กขนาดเล็กหลายลูกเรียงตัวกันอยู่ เมื่อมีการหมุนของตัวสกู ลูกบอลที่อยู่ในตัวนั้นจะกลิ้งไปตามร่องเกลียวของสกู โดยจะเรียงตาม เกลียว วนอยู่ภายในตัวนั้น ทำให้มีความเสียดทานน้อยและมีความเที่ยงตรงสูง บอลสกูบางชนิด มีความผิดพลาดในการเคลื่อนที่เพียง 5 ไมโครเมตรต่อระยะเคลื่อนที่ 300 มิลลิเมตร สำหรับ โครงงานวิทยานิพนธ์นี้ใช้บอลสกูชนิดเกลียวเจียร์ใน มีความผิดพลาด 25 ไมโครเมตรต่อระยะทาง เคลื่อนที่ 300 มิลลิเมตร ขนาดเส้นผ่านศูนย์กลาง 16 มิลลิเมตร ระยะเคลื่อนที่ ต่อการหมุน 1 รอบ เท่ากับ 5 มิลลิเมตร



รูปที่ จ.1 ขนาดของบอลสกู

### ข้อมูลจำเพาะ

น้ำหนักสกรู	1.26	กิโลกรัมต่อมเมตร
น้ำหนักนั้นท	0.25	กิโลกรัม
ภาระที่รับได้ ทางพลาสติก	11900	นิวตัน
ทางสติติกาสต์	16400	นิวตัน
ระยะคลอนตามแนวแกนตุ้งสุด	0.07	มิลลิเมตร

### แรงบิดในการขับเคลื่อน

แรงบิดที่ต้องใช้ในการขับเคลื่อนจากการหมุนเป็นเชิงเส้น

$$M_D = \frac{F.P}{2000.\pi.\eta} \quad (\text{จ.1})$$

แรงบิดที่เกิดจากการเคลื่อนที่เชิงเส้นเป็นการหมุน

$$M_T = \frac{F.P.\eta'}{2000.\pi} \quad (\text{จ.2})$$

$M_D$  = แรงบิดในการขับเคลื่อน (นิวตันเมตร)

$M_T$  = แรงบิดที่ส่งออกมา (นิวตันเมตร)

$F$  = ภาระที่กระทำ (นิวตัน)

$P$  = ระยะเคลื่อนที่ต่อ 1 รอบการหมุน (มิลลิเมตร)

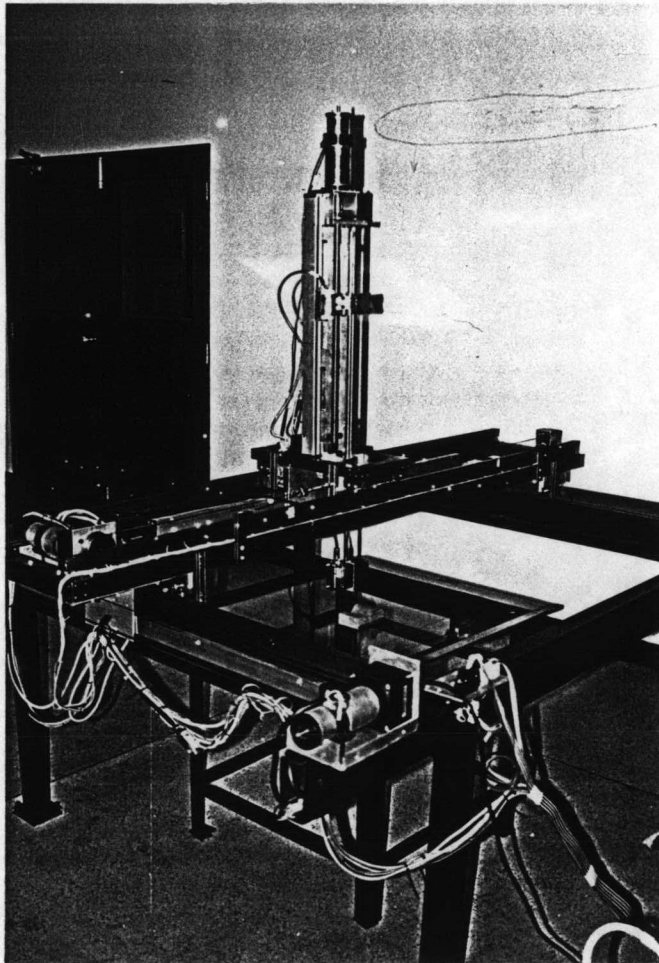
$\eta$  = ประสิทธิภาพทางกล (ประมาณ 0.9)

$\eta'$  = ประสิทธิภาพทางกล (ประมาณ 0.8)

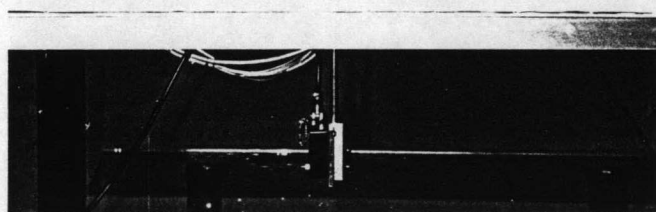
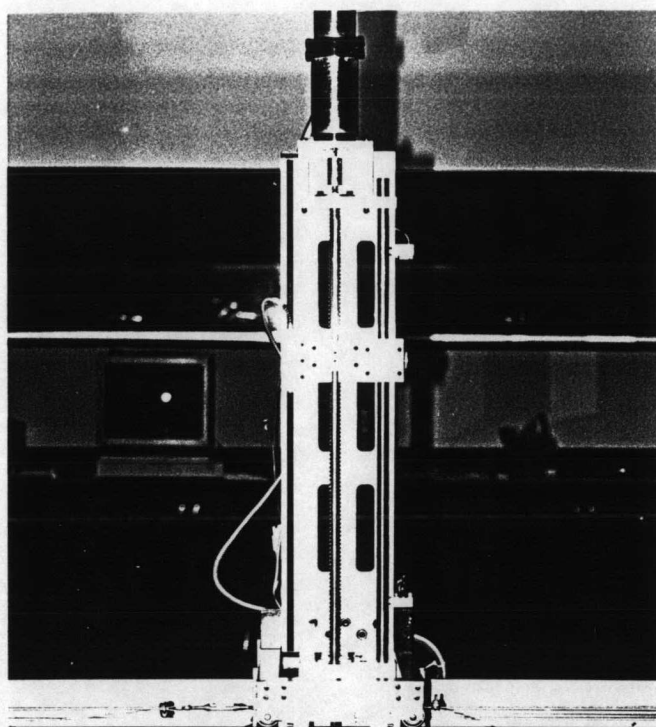
ภาคผนวก ฉบับที่ 1

รูป prototype เคลื่อนที่ xyz

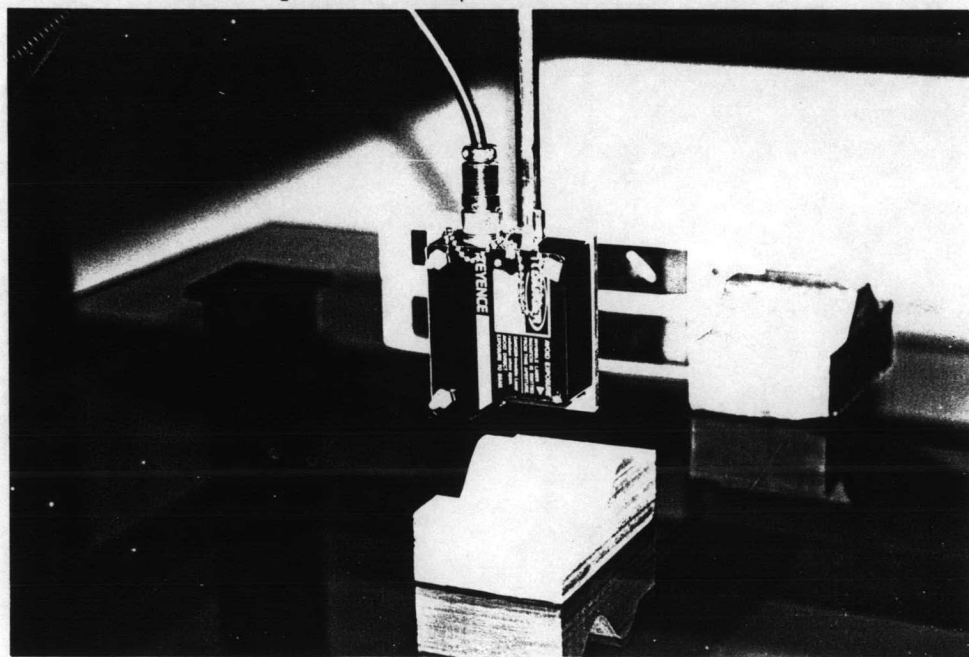
อุปกรณ์ที่ใช้ในการทดลองแสดงดังต่อไปนี้



รูปที่ น.1 แสดงภาพ prototype เคลื่อนที่



รูปที่ ฉบับที่ 2 แสดงชุดเคลื่อนที่ในแนวแกน Z

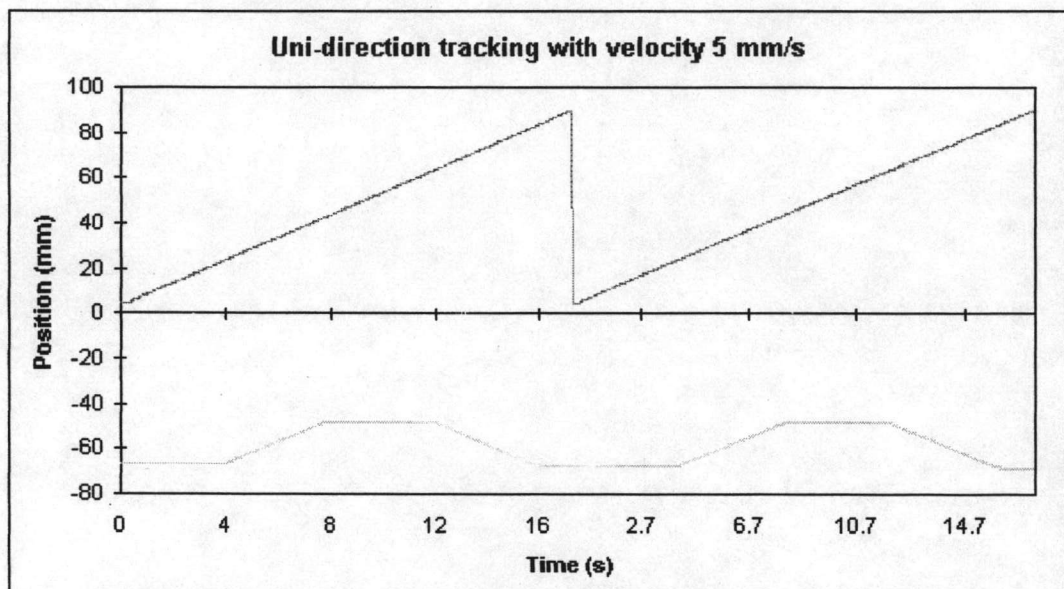


รูปที่ ฉบับที่ 3 แสดงอุปกรณ์วัดแบบเลเซอร์ขณะวัดชิ้นงาน

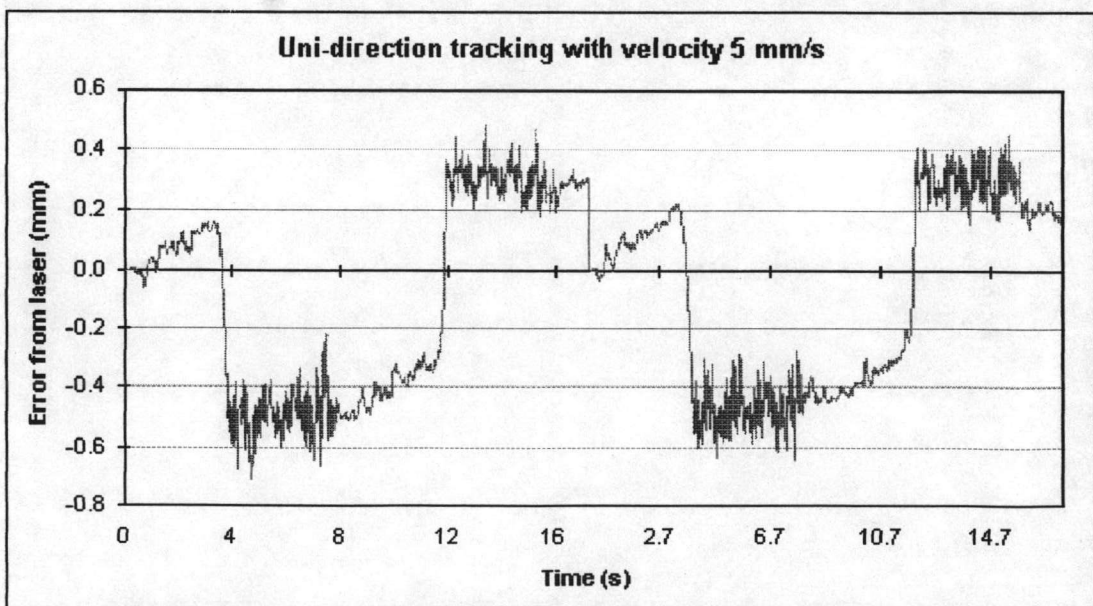
## ภาคผนวก ช

ผลที่ได้จากการติดตามคอนโทรลทัวร์จากเลเซอร์ (แกน z)

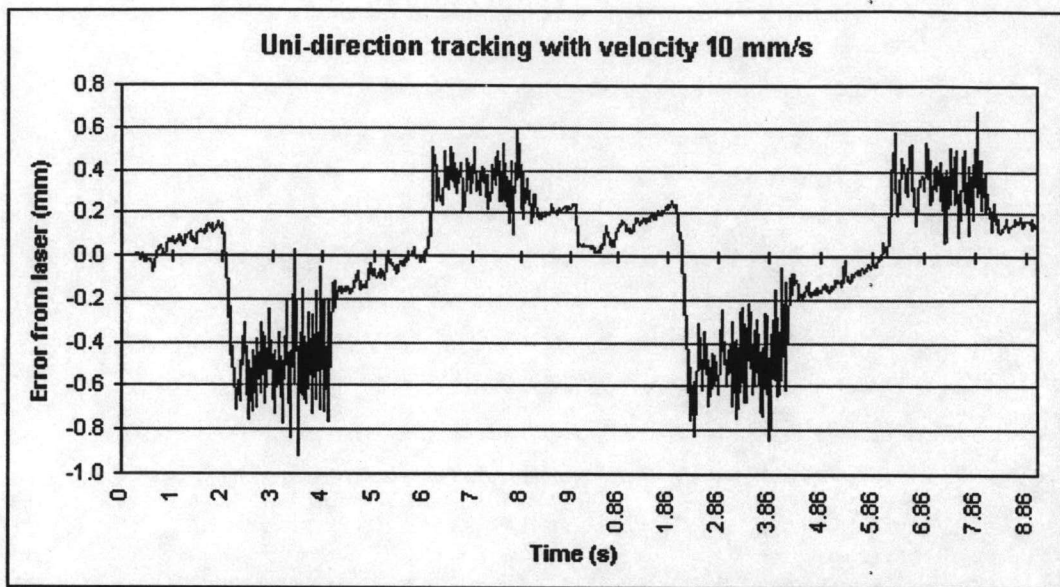
ผลจากการวัดขั้นงานขั้นที่ 1



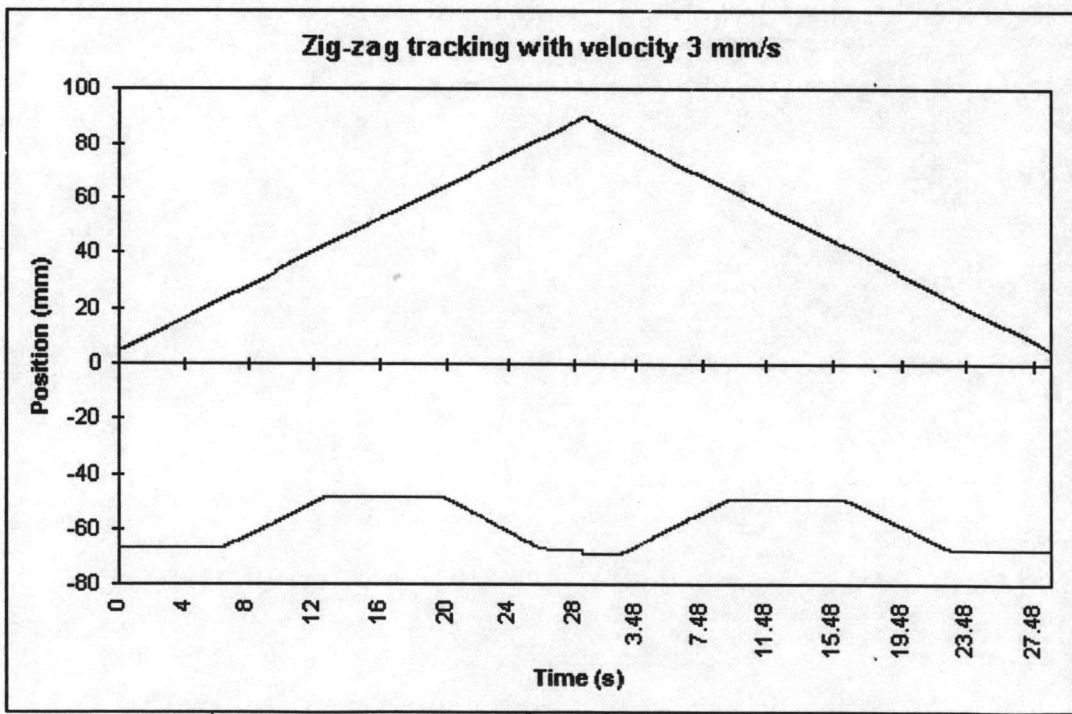
รูปที่ ช.1 ตำแหน่งแกน y,z ของขั้นงานขั้นที่ 1 ทางเดินแบบทิศทางเดียว



รูปที่ ช.2 ค่าจากเลเซอร์ของขั้นงานขั้นที่ 1 ทางเดินแบบทิศทางเดียวที่ 5 mm/s



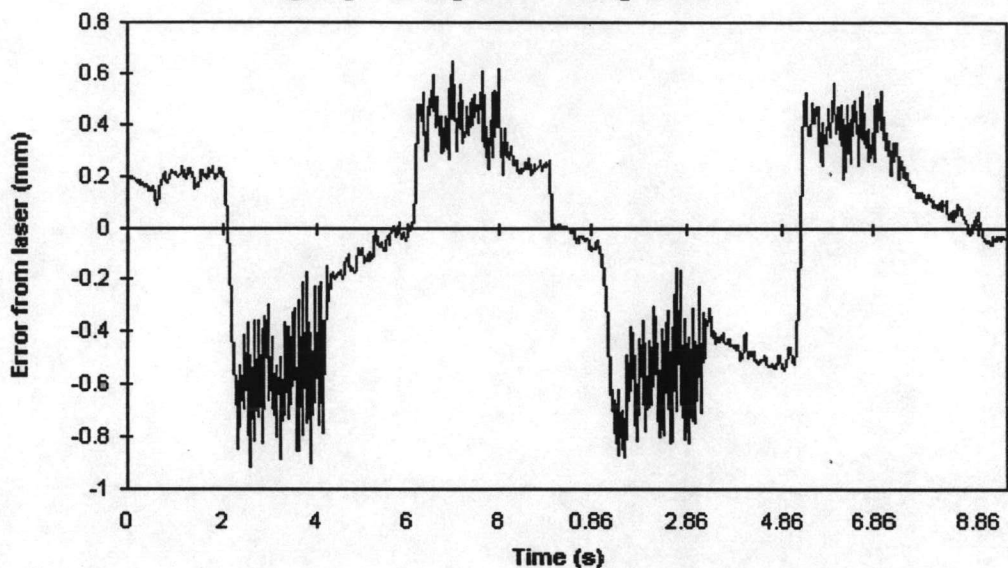
รูปที่ ๑.๓ ค่าจากเลเซอร์ของขั้นงานชิ้นที่ ๑ ทางเดินแบบทิศทางเดียว ที่ 10 mm/s



รูปที่ ๑.๔ ตำแหน่งแกน y,z ของขั้นงานชิ้นที่ ๑ ทางเดินแบบไปกลับ

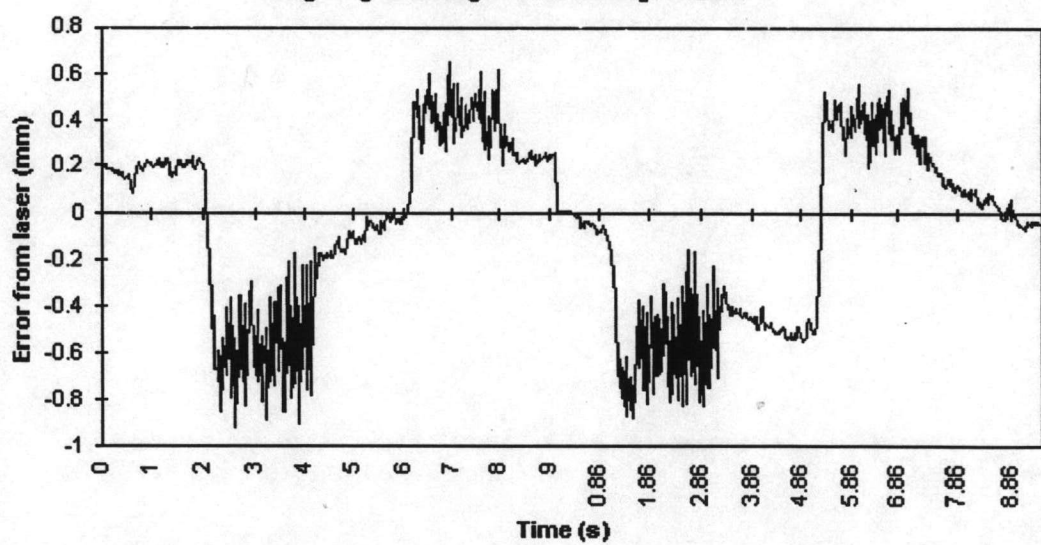


Zig-zag tracking with velocity 5 mm/s

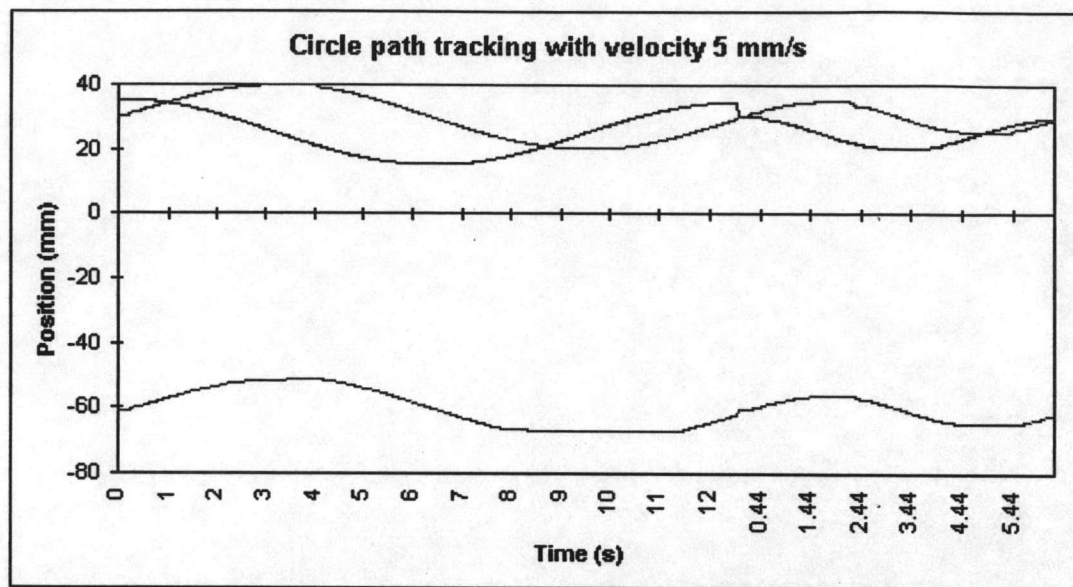


รูปที่ ๑.๕ ค่าจากเลเซอร์ของขึ้นงานชิ้นที่ ๑ ทางเดินแบบไปกลับ ที่ 5 mm/s

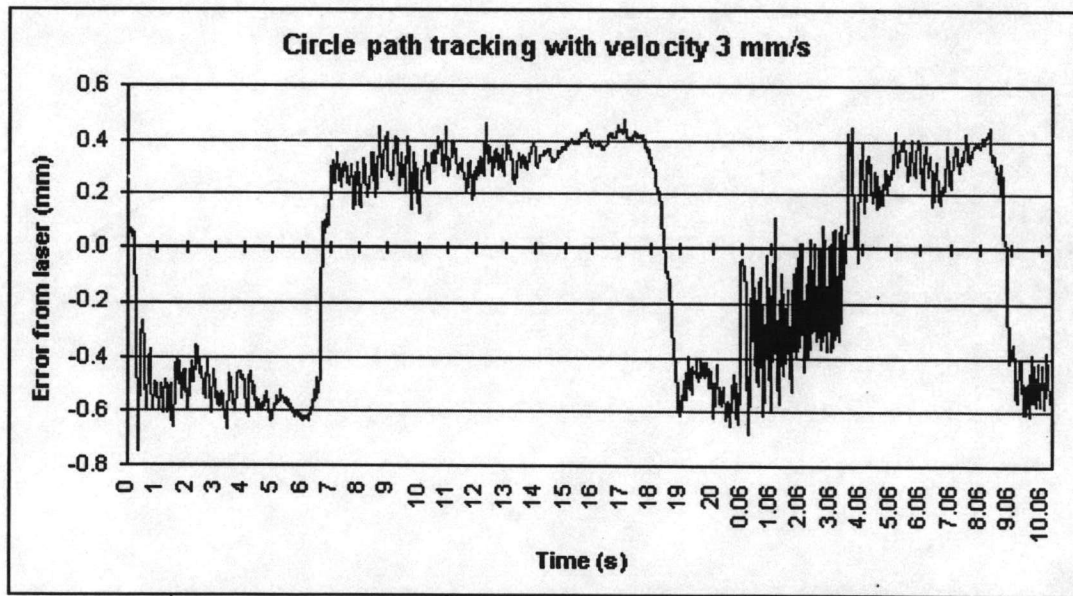
Zig-zag tracking with velocity 10 mm/s



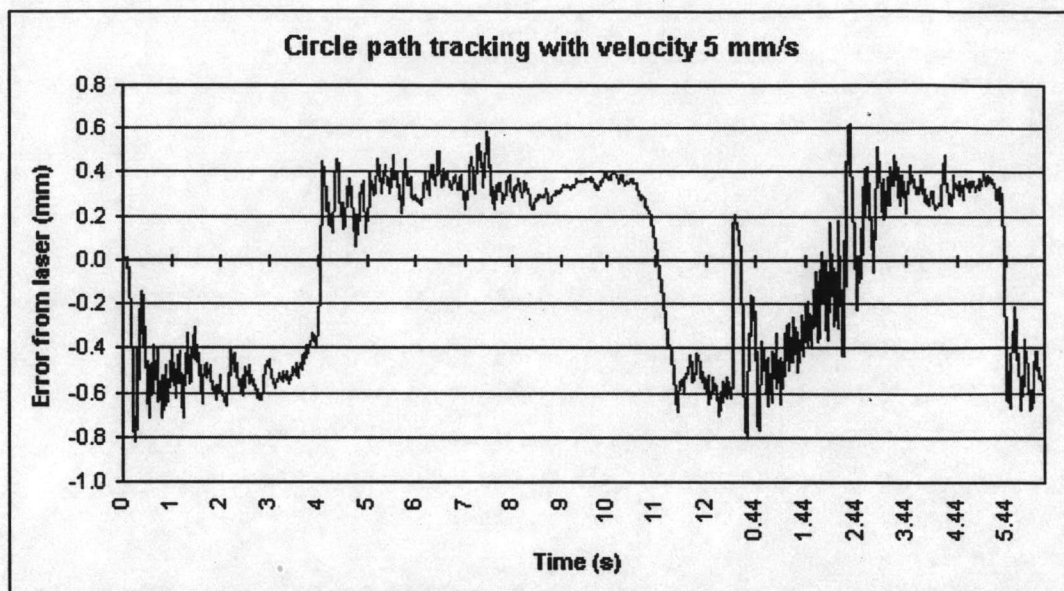
รูปที่ ๑.๖ ค่าจากเลเซอร์ของขึ้นงานชิ้นที่ ๑ ทางเดินแบบไปกลับ ที่ 10 mm/s



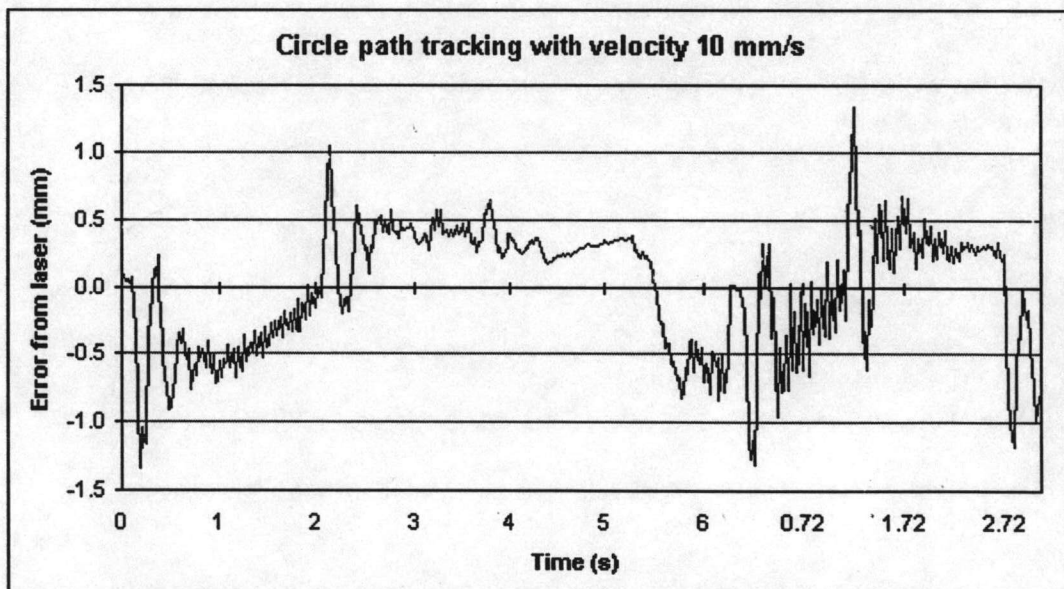
รูปที่ ๑.๗ ตำแหน่งแกน x,y,z ของขั้นงานชิ้นที่ ๑ ทางเดินแบบวงกลม



รูปที่ ๑.๘ ค่าจากเลเซอร์ของขั้นงานชิ้นที่ ๑ ทางเดินแบบวงกลม ที่ 3 mm/s

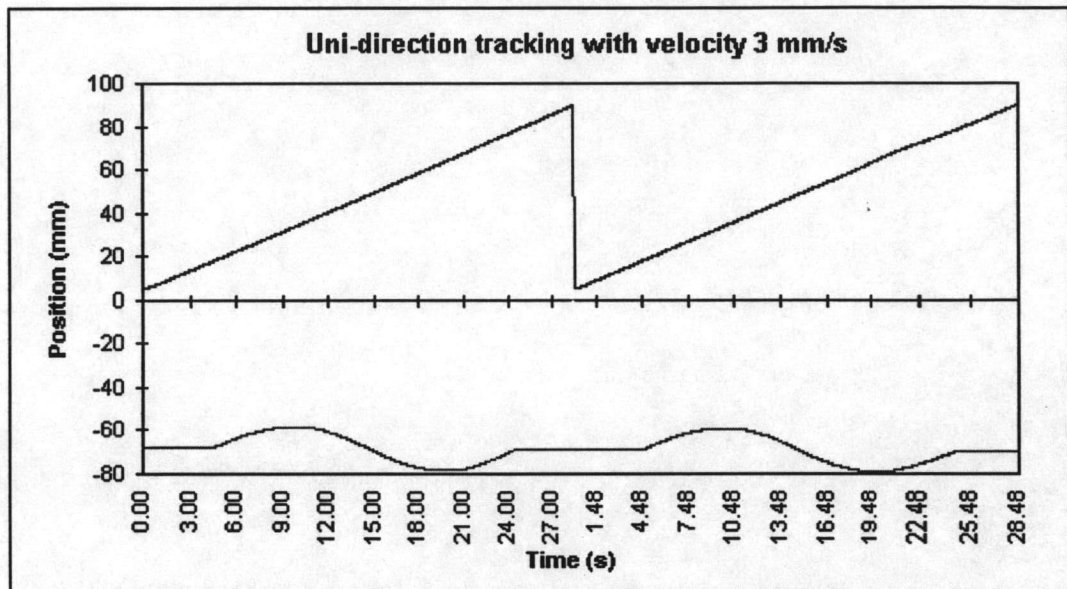


รูปที่ ๔.๙ ค่าจากเลเซอร์ของชิ้นงานชิ้นที่ ๑ ทางเดินแบบวงกลม ที่ 5 mm/s

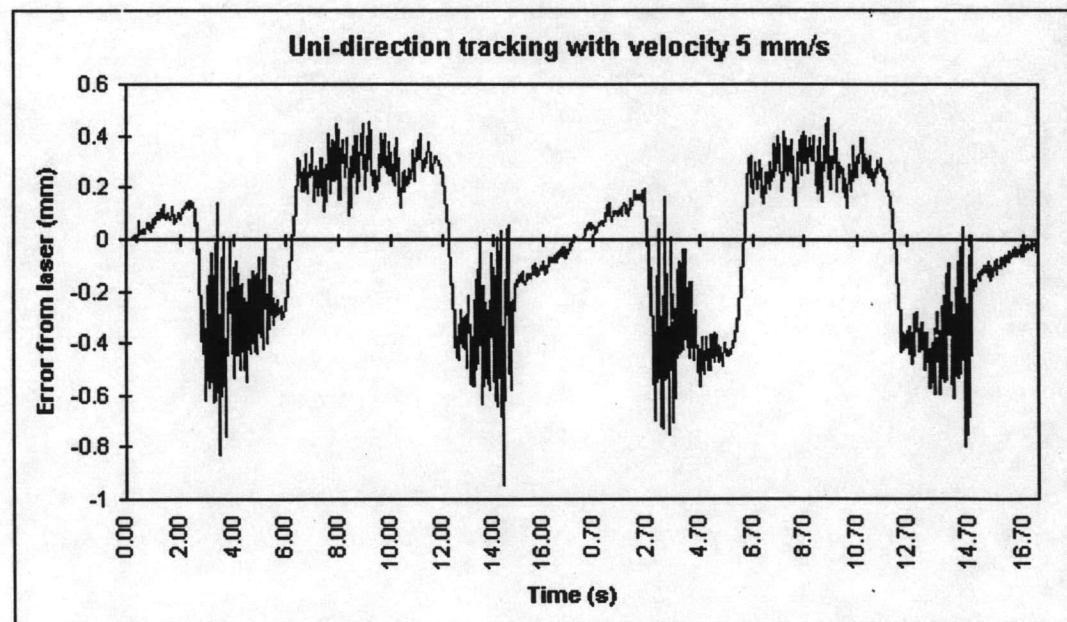


รูปที่ ๔.๑๐ ค่าจากเลเซอร์ของชิ้นงานชิ้นที่ ๑ ทางเดินแบบวงกลม ที่ 10 mm/s

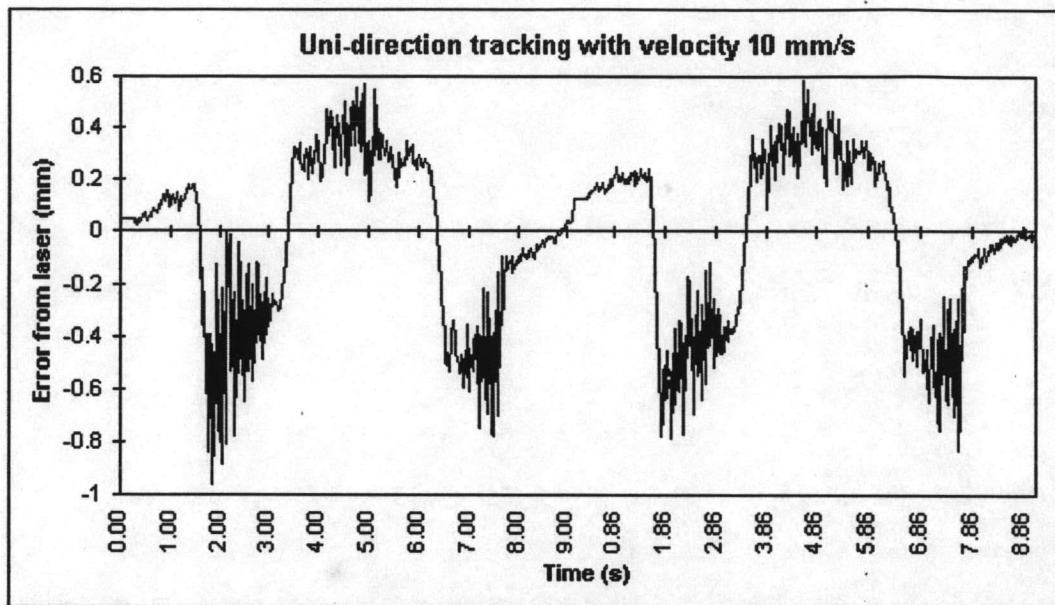
ผลจากการวัดขั้นงานขั้นที่ 2



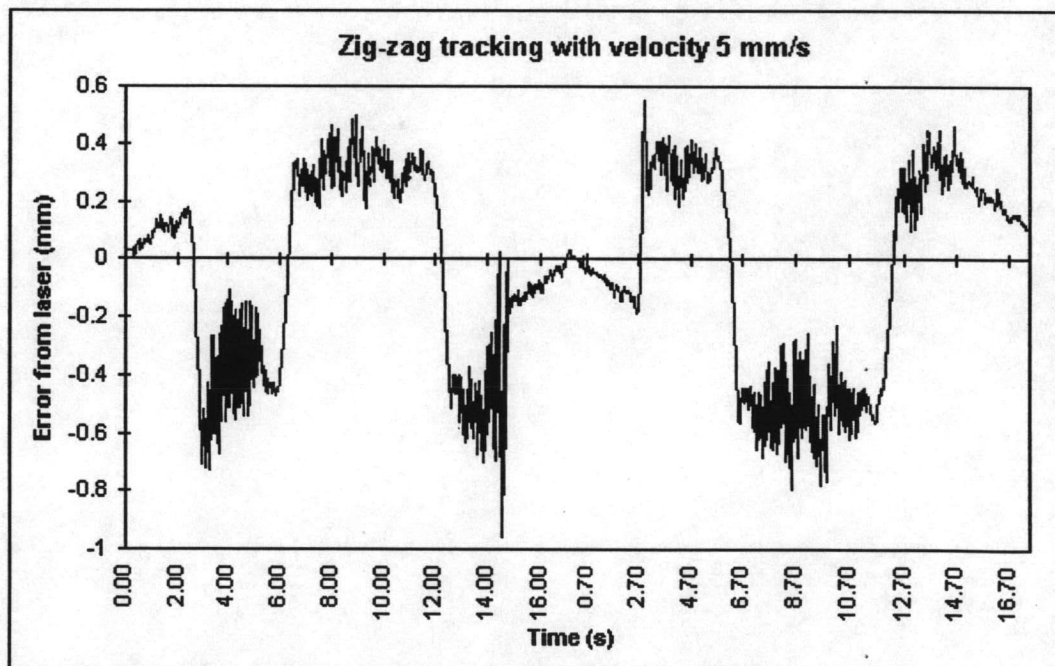
รูปที่ ๔.11 ตำแหน่งแกน y,z ของขั้นงานขั้นที่ 2 ทางเดินแบบทิศทางเดียว



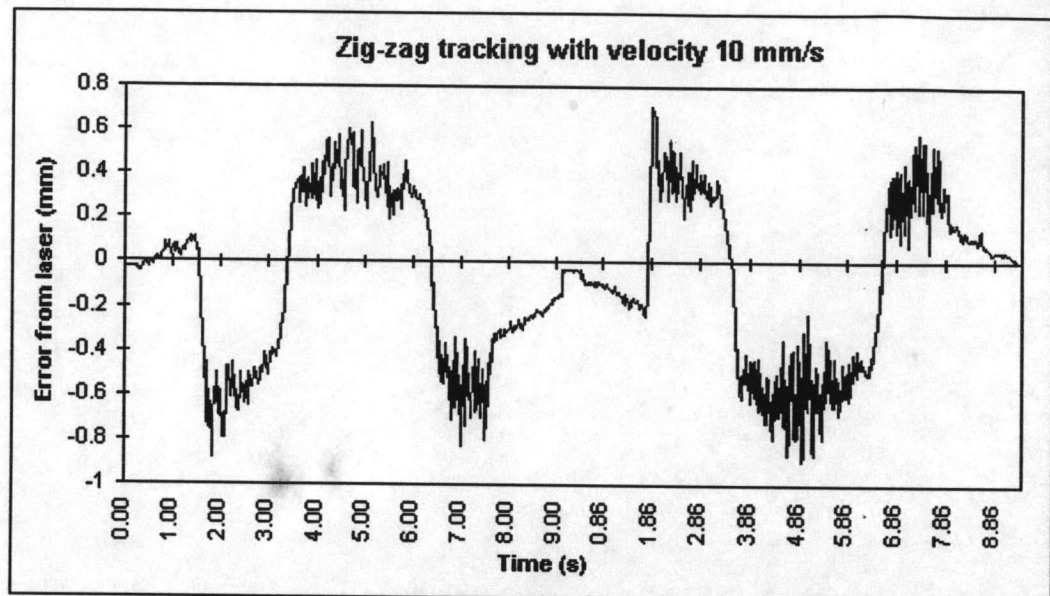
รูปที่ ๔.12 ค่าจากเลเซอร์ของขั้นงานขั้นที่ 2 ทางเดินแบบทิศทางเดียวที่ 5 mm/s



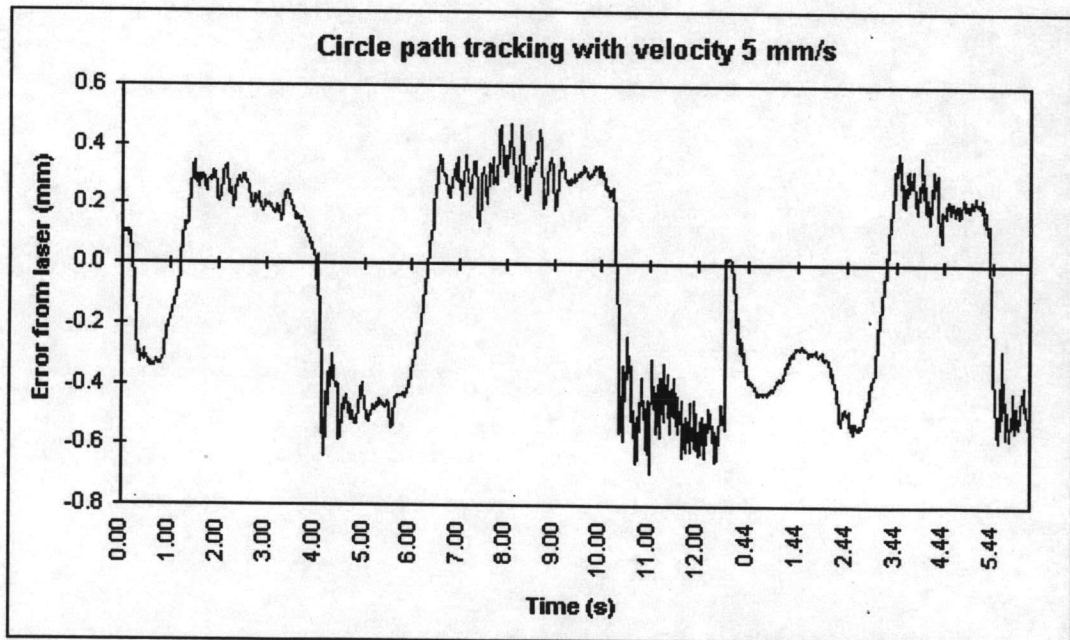
รูปที่ ๑.๑๓ ค่าจากเลเซอร์ของชิ้นงานชิ้นที่ 2 ทางเดินแบบทิศทางเดียวที่ 10 mm/s



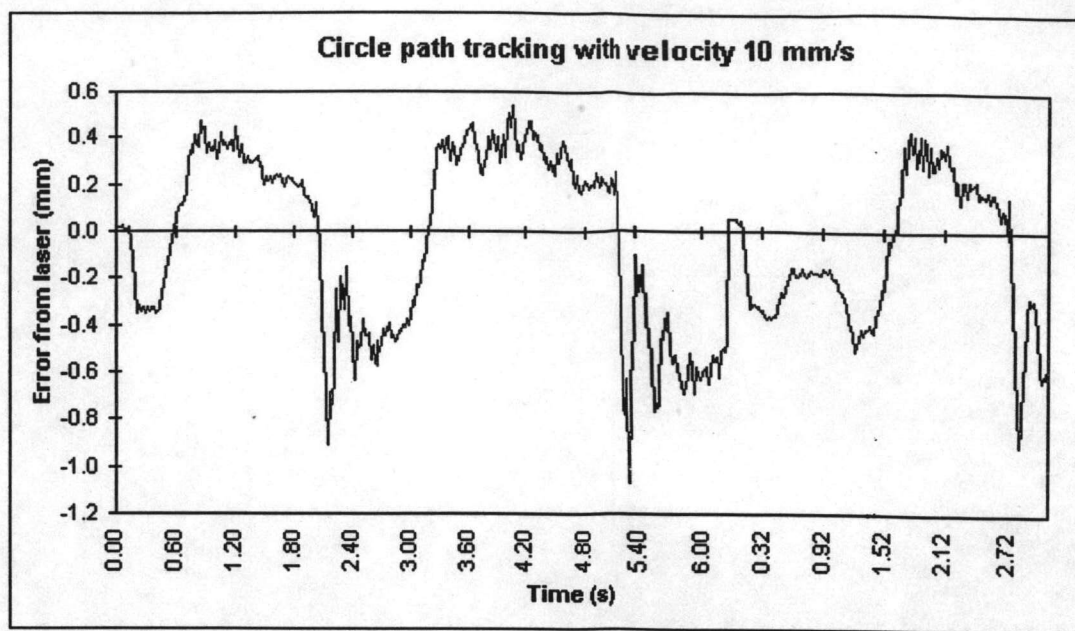
รูปที่ ๑.๑๔ ค่าจากเลเซอร์ของชิ้นงานชิ้นที่ 2 ทางเดินแบบไปกลับที่ 5 mm/s



รูปที่ ๙.๑๕ ค่าจากเลเซอร์ของขั้นงานขั้นที่ 2 ทางเดินแบบไปกลับที่ 10 mm/s



รูปที่ ๙.๑๖ ค่าจากเลเซอร์ของขั้นงานขั้นที่ 2 ทางเดินแบบวงกลมที่ 5 mm/s



รูปที่ ๔.๑๗ ค่าจากเลเซอร์ของขั้นงานชิ้นที่ 2 ทางเดินแบบวงกลมที่ 10 mm/s

## ประวัติผู้เขียน

นาย ชเนศ เรืองธุระกิจ เกิดเมื่อวันที่ 25 กรกฎาคม พ.ศ. 2512 ที่อำเภอเมืองระยอง จังหวัดระยอง สำเร็จการศึกษาปริญญาตรีวิศวกรรมศาสตรบัณฑิต สาขาวิศวกรรมเครื่องกล ภาควิชาวิศวกรรมเครื่องกล คณะวิศวกรรมศาสตร์ สถาบันเทคโนโลยีพระจอมเกล้าพระนครเหนือ ในปี การศึกษา 2534 และได้เข้าศึกษาต่อในหลักสูตรวิศวกรรมศาสตรมหาบัณฑิต ภาควิชาวิศวกรรมเครื่องกล คณะวิศวกรรมศาสตร์ จุฬาลงกรณ์มหาวิทยาลัย